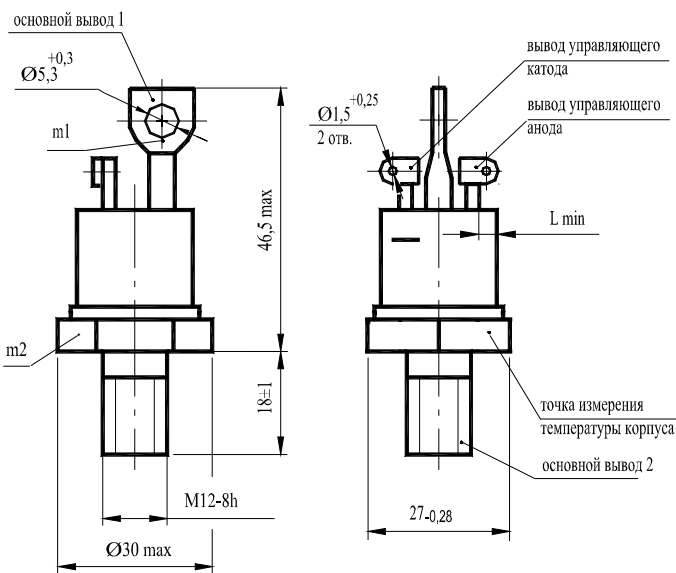


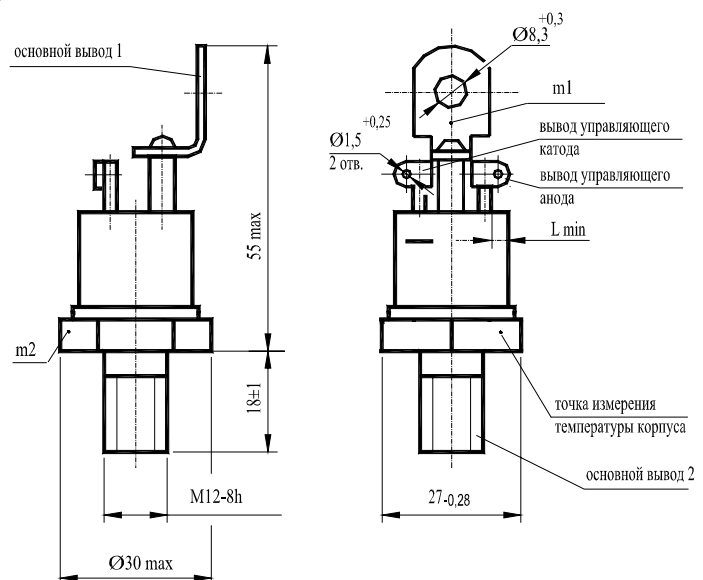
# ОПТОТРИАКИ TCO152-100, TCO152-125

## Конструкция оптотриаков

**Вариант I**



**Вариант II**



m1, m2 - контрольные точки измерения импульсного напряжения в открытом состоянии;  
 $L_{min} = 4,30$  мм - длина пути для тока утечки между основным выводом 2 и выводом управляющего электрода.

## Механические параметры

Наименование, единица измерения	Тип оптотриака	
	TCO152-100	TCO152-125
Масса оптотриака, г, не более	100,0	
Растягивающая сила, Н	для основного вывода 1	$39,2 \pm 4,0$
	для выводов управляющего электрода	$9,8 \pm 0,1$
Крутящий момент, Нм	для основного вывода 2	$14,0 \pm 1,4$

## Параметры закрытого состояния

Обозначение параметра	Наименование, единица измерения	Тип оптотриака		Условия установления норм на параметры
		TCO152-100	TCO152-125	
$U_{DRM}$	Повторяющееся импульсное напряжение в закрытом состоянии, В, для класса:			$T_{jm} = 100 \text{ }^{\circ}\text{C}$ , Импульс напряжения синусоидальный, однополупериодный, $t_{i\max} = 10 \text{ мс}, f = 50 \text{ Гц}$
	2 4 5 6 8 9 10 11 12	200 400 500 600 800 900 1000 1100 1200		
$U_{DSM}$	Неповторяющееся импульсное напряжение в закрытом состоянии, В, для класса:			$T_{jm} = 100 \text{ }^{\circ}\text{C}$ , Импульс напряжения синусоидальный, одиночный, однополупериодный, $t_{i\max} = 10 \text{ мс}$
	2 4 5 6 8 9 10 11 12	220 450 560 670 890 1000 1100 1200 1300		
$U_D$	Постоянное напряжение в закрытом состоянии, В	$0,6U_{DRM}$		$T_c = 70 \text{ }^{\circ}\text{C}$
$U_{DWM}$	Импульсное рабочее напряжение в закрытом состоянии, В	$0,8U_{DRM}$		$T_{jm} = 100 \text{ }^{\circ}\text{C}$ , Импульс напряжения синусоидальный, однополупериодный, $t_{i\max} = 10 \text{ мс}, f = 50 \text{ Гц}$
$(dU_D/dt)_{com}$	Критическая скорость нарастания коммутационного напряжения, В/мкс, не менее, для группы:			$T_{jm} = 100 \text{ }^{\circ}\text{C}, U_D = 0,67U_{DRM}, I_T = I_{TRMSM}$ , $(di/dt)_f = 0,025 \text{ А/мкс}$ для TCO152-100, $(di/dt)_f = 0,030 \text{ А/мкс}$ для TCO152-125 Длительность напряжения в закрытом состоянии на уровне 0,9 от амплитудного значения 250 мкс. Режим цепи управления: форма произвольная, $U_{Gmax} = 3,5 \text{ В}$ (при подключенном оптотриаке), $t_{Gmax} = 1 \text{ мс}$ , длительность фронта не нормируется
$I_{DRM}$	Повторяющийся импульсный ток в закрытом состоянии, мА, не более	0	не нормируется, но не менее 1	
		1 2 3 4 5	2,5 4,0 6,3 10 16	$T_j = 25 \text{ }^{\circ}\text{C}, U_D = U_{DRM}$
			2,8	$T_{jm} = 100 \text{ }^{\circ}\text{C}, U_D = U_{DRM}$
			8,0	

..... ОПТОТРИАКИ ШТЫРЕВОЙ КОНСТРУКЦИИ .....

**Параметры открытого состояния**

Обозначение параметра	Наименование, единица измерения	Тип оптотриака		Условия установления норм на параметры
		TCO152-100	TCO152-125	
$I_{TRMSM}$	Максимально допустимый действующий ток в открытом состоянии, А	100	125	$T_c = 70^\circ\text{C}$ , импульс тока синусоидальный, $f = 50 \text{ Гц}$
$I_{TSM}$	Ударный ток в открытом состоянии, А	990	1210	$T_j = 25^\circ\text{C}$
		900	1100	$T_{jm} = 100^\circ\text{C}$ Импульс тока синусоидальный, одиничный, $t_i = 20 \text{ мкс}$ . Режим цепи управления: импульс тока трапециoidalный, $I_G = 500 \text{ мА}$ , $t_G = 100 \text{ мкс}$ , длительность фронта 10 мкс, сопротивление источника управления не более 20 Ом
$U_{TM}$	Импульсное напряжение в открытом состоянии, В, не более	1,60	1,40	$T_j = 25^\circ\text{C}$ , $I_T = 1,41I_{TRMSM}$
$U_{T(TO)}$	Пороговое напряжение в открытом состоянии, В	0,9		$T_{jm} = 100^\circ\text{C}$
$r_T$	Динамическое сопротивление в открытом состоянии, Ом	0,005	0,004	$T_{jm} = 100^\circ\text{C}$
$I_H$	Ток удержания, мА, не более	10		$T_j = 25^\circ\text{C}$ , $U_D = 12 \text{ В}$
$I_L$	Ток включения, мА, не более	25		$T_j = 25^\circ\text{C}$ , $U_D = 12 \text{ В}$ Режим цепи управления: импульс тока трапециoidalный, $I_G = 500 \text{ мА}$ , $t_G = 100 \text{ мкс}$ , длительность фронта не более 0,5 мкс, сопротивление источника управления не более 50 Ом
$I_{TRMS}$	Действующий ток в открытом состоянии, А	26	28	$T_a = 40^\circ\text{C}$ , естественное охлаждение, охладитель OP151-80

**Параметры гальванической развязки**

Обозначение параметра	Наименование, единица измерения	Тип оптотриака		Условия установления норм на параметры
		TCO152-100	TCO152-125	
$U_{IG}$	Электрическая прочность изоляции между основными выводами и выводами управляющего электрода, В, действующее значение	2000		Напряжение синусоидальное, $f = 50 \text{ Гц}$ . Длительность приложения напряжения 60 с. Нормальные климатические условия
$R_{IG}$	Сопротивление изоляции между основными выводами и выводами управляющего электрода, МОм, не менее	10		$U_{IG} = 1000 \text{ В}$ При нормальных климатических условиях
		1		$U_{IG} = 1000 \text{ В}$ При повышенной влажности воздуха (более 80%)

## Параметры переключения

Обозначение параметра	Наименование, единица измерения	Тип оптотриака		Условия установления норм на параметры
		TCO152-100	TCO152-125	
$(di_T/dt)_{crit}$	Критическая скорость нарастания тока в открытом состоянии, А/мкс, не менее		6,3	$T_{j_m} = 100 \text{ }^{\circ}\text{C}$ , $U_D = 0,67U_{DRM}$ , $I_T = 2 I_{TRMSM}$ , $f = 1-5 \text{ Гц}$ Режим цепи управления: импульс тока трапециoidalный, $I_G = (500 \pm 25) \text{ mA}$ , $t_G = 100-200 \text{ мс}$ , $(di_G/dt)_f = 1 \text{ A/мкс}$ , сопротивление источника управления не более 20 Ом
$t_{gt}$	Время включения, мкс, не более		16	$T_j = 25 \text{ }^{\circ}\text{C}$ , $U_D = 100 \text{ В}$ , $I_T = I_{TRMSM}$ , Режим цепи управления: импульс тока трапециoidalный, $I_G = 500 \text{ mA}$ , $t_G = 100 \text{ мкс}$ , длительность фронта не более 0,5 мкс, сопротивление источника управления не более 50 Ом
$t_{gd}$	Время задержки, мкс, не более		6	

## Параметры управления

Обозначение параметра	Наименование, единица измерения	Тип оптотриака		Условия установления норм на параметры
		TCO152-100	TCO152-125	
$U_{GT}$	Отпирающее постоянное напряжение управления, В, не более (для приборов с индексом "A")		1,8	$T_j = 25 \text{ }^{\circ}\text{C}$ , $U_D = 12 \text{ В}$
$I_{GT}$	Отпирающий постоянный ток управления, мА, не более (для приборов с индексом "A")		80	$T_j = 25 \text{ }^{\circ}\text{C}$ , $U_D = 12 \text{ В}$
$I_{GT\max}$	Максимально допустимый постоянный ток управления, мА (для приборов с индексом "A")		100	$T_j = 25 \text{ }^{\circ}\text{C}$ , $U_D = 12 \text{ В}$
$U_{GTM}$	Отпирающее импульсное напряжение управления, В, не более		3,5	$T_j = \text{минус } 50 \text{ }^{\circ}\text{C}$
			2,5	$T_j = \text{минус } 10 \text{ }^{\circ}\text{C}$
			2,0	$T_j = 25 \text{ }^{\circ}\text{C}$ , $U_D = 12 \text{ В}$ Режим цепи управления: форма - трапециoidalная, $t_G = 100 \text{ мкс}$
$I_{GTM}$	Отпирающий импульсный ток управления, мА, не более		600	$T_j = \text{минус } 50 \text{ }^{\circ}\text{C}$
			400	$T_j = \text{минус } 10 \text{ }^{\circ}\text{C}$
			250	$T_j = 25 \text{ }^{\circ}\text{C}$ , $t_i = 100 \text{ мкс}$
$I_{GTM\max}$	Максимально допустимый импульсный ток управления, мА		700	$t_i = 100 \text{ мкс}$ , скважность $k = 10$
$U_{gd}$	Неотпирающее напряжение управления, В, не менее		0,8	$T_j = 100 \text{ }^{\circ}\text{C}$ , $U_D = 0,67U_{DRM}$ Режим цепи управления: форма - трапециoidalная, $t_G = 100 \text{ мкс}$

..... ОПТОТРИАКИ ШТЫРЕВОЙ КОНСТРУКЦИИ .....

Тепловые параметры

Обозначение параметра	Наименование, единица измерения	Тип оптотриака		Условия установления норм на параметры
		TCO152-100	TCO152-125	
$T_{jm}$	Максимально допустимая температура перехода, °C	100		
$T_{jmin}$	Минимально допустимая температура перехода, °C	минус 50 (минус 60 для УХЛ2.1)		
$T_{stg\ m}$	Максимально допустимая температура хранения, °C	40 (50 для Т3)		
$T_{stg\ min}$	Минимально допустимая температура перехода, °C	минус 50		
$R_{thje}$	Тепловое сопротивление переход -корпус, °C/Bт, не более	0,22	0,21	Постоянный ток
$R_{thch}$	Тепловое сопротивление корпус -охладитель, °C/Bт, не более	0,15		Естественное охлаждение. Охладитель OP151-80.
$R_{thja}$	Тепловое сопротивление переход -среда (с охладителем), °C/Bт, не более	2,49	2,45	Постоянный ток.

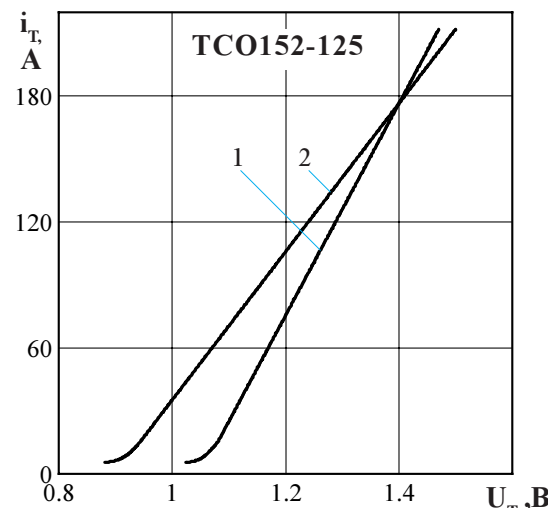
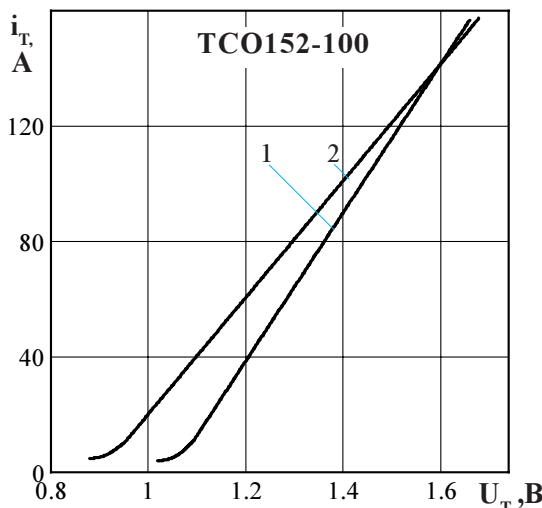


Рисунок 1 - Предельная вольтамперная характеристика в открытом состоянии при температуре перехода 25 °C (1) и максимальной температуре перехода  $T_{jm}$  (2)  $i_T = 1,41i_{TRMS}$

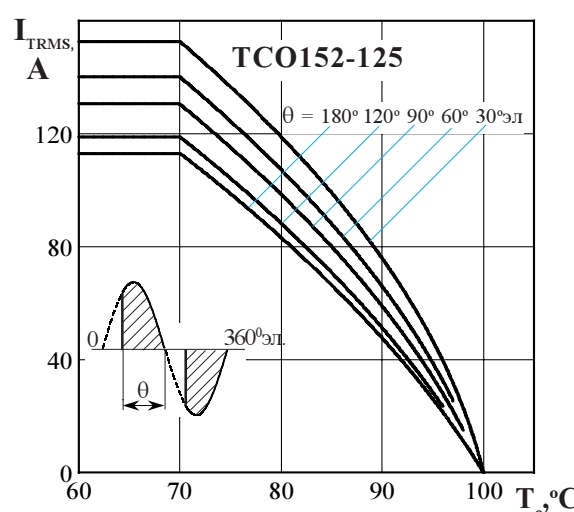
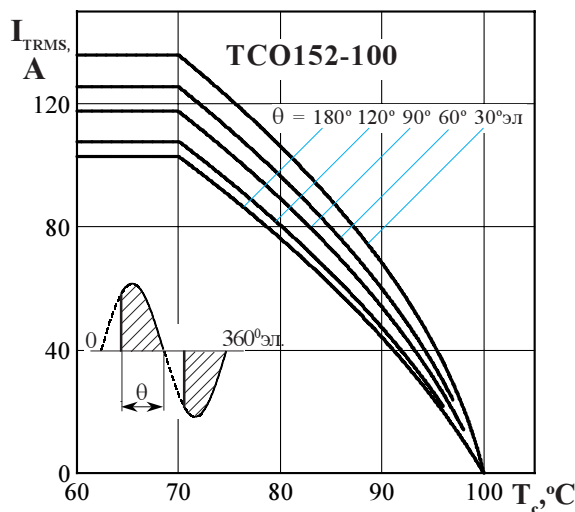
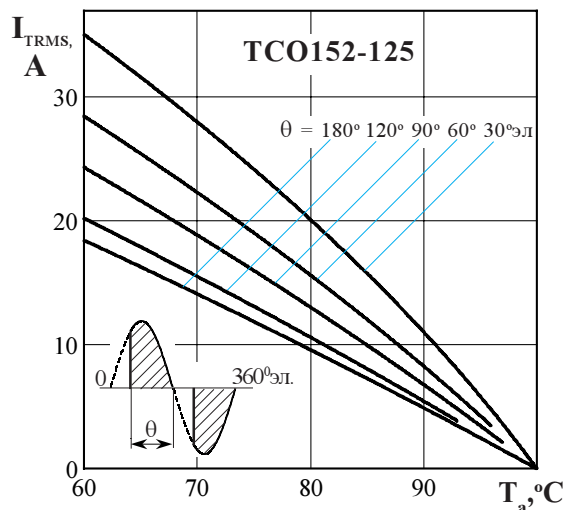
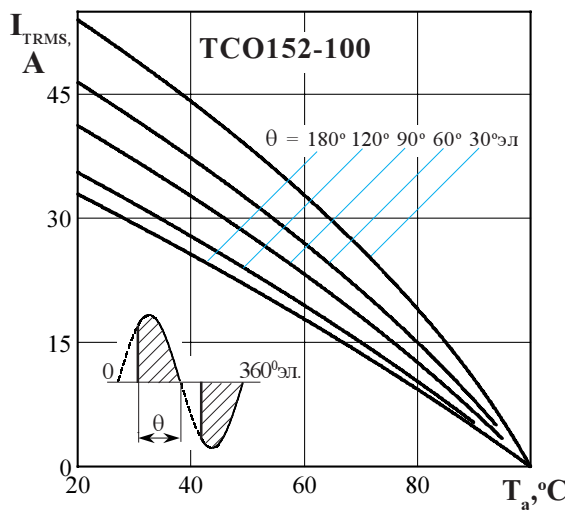
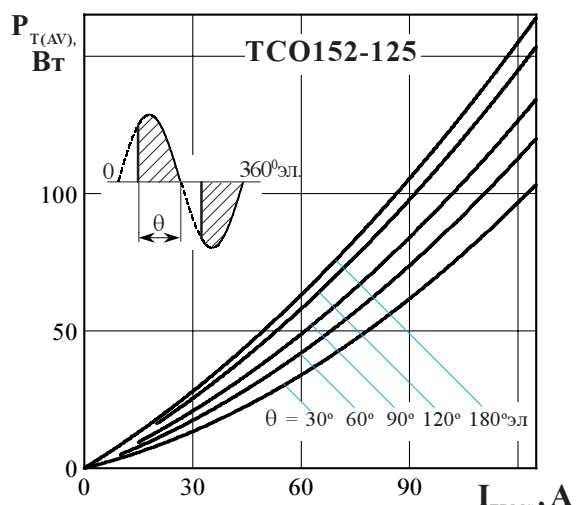
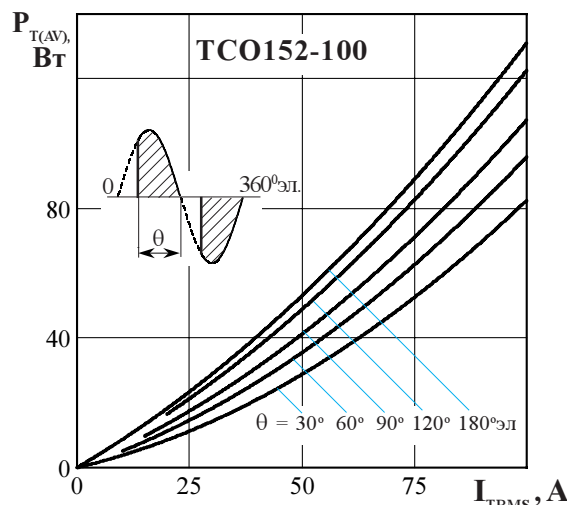


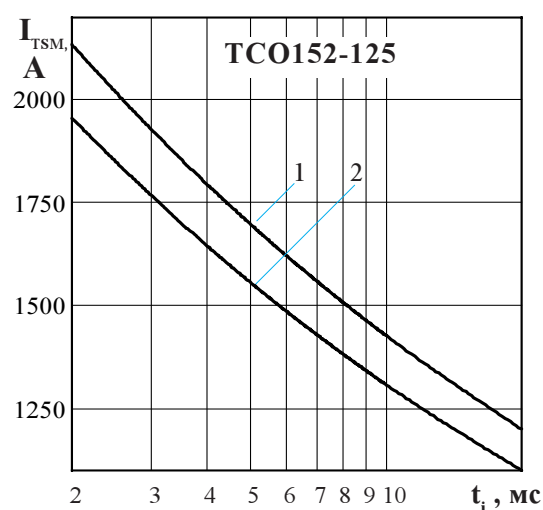
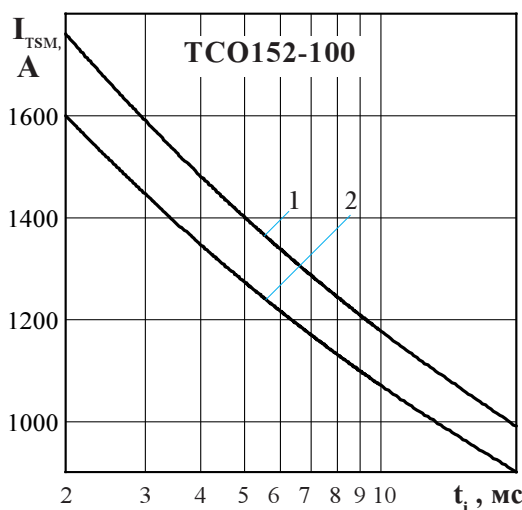
Рисунок 2 - Зависимость допустимого действующего тока в открытом состоянии  $I_{TRMS}$  от температуры корпуса  $T_c$  для токов синусоидальной формы частотой  $f = 50$  Гц



**Рисунок 3 - Зависимость допустимого действующего тока в открытом состоянии  $I_{\text{TRMS}}$  от температуры окружающей среды  $T_a$  при естественном охлаждении на типовом охладителе при различных углах проводимости**

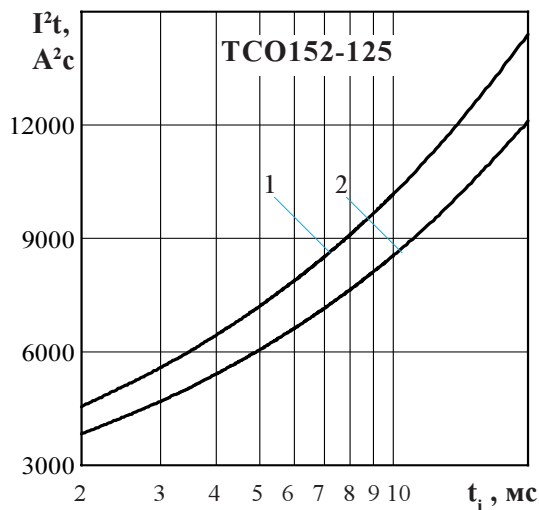
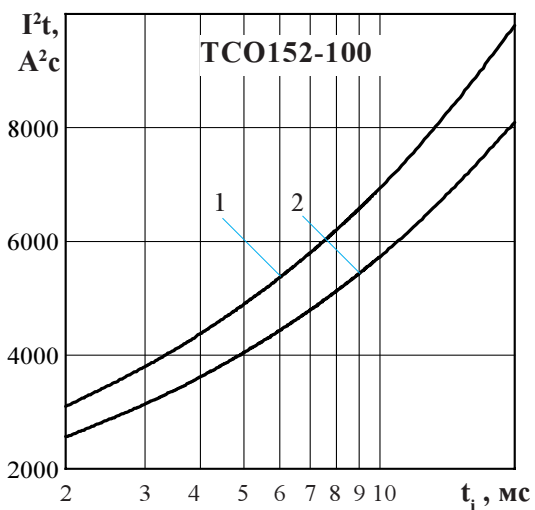


**Рисунок 4 - Зависимость средней мощности потерь  $P_{T(\text{AV})}$  от действующего значения тока  $I_{\text{TRMS}}$  в открытом состоянии синусоидальной формы частотой  $f = 50 \text{ Гц}$**

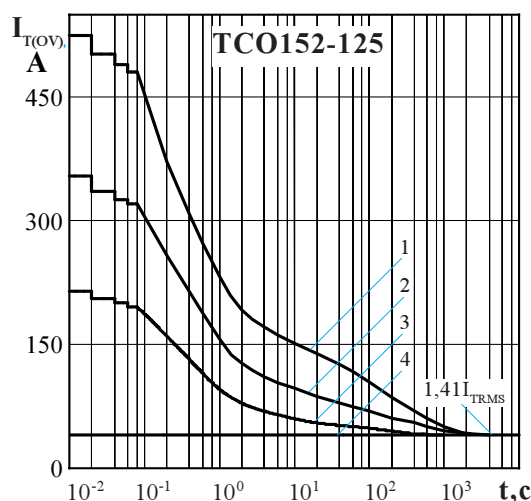
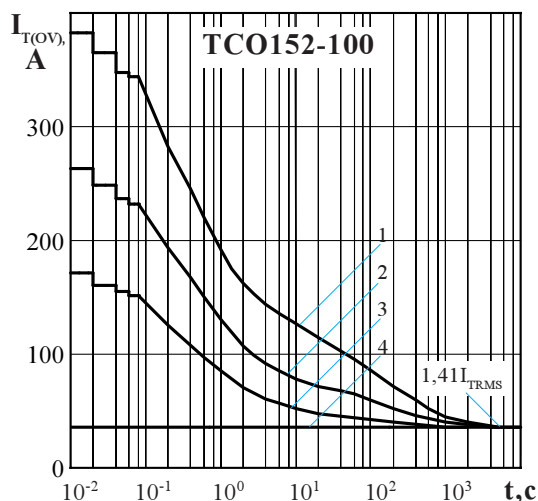


**Рисунок 5 - Зависимость допустимой амплитуды ударного тока в открытом состоянии  $I_{\text{TSM}}$  от длительности импульса тока  $t_i$  при исходной температуре структуры  $T_j = 25 {}^\circ\text{C}$  (1) и максимальной температуре  $T_{jm}$  (2)**

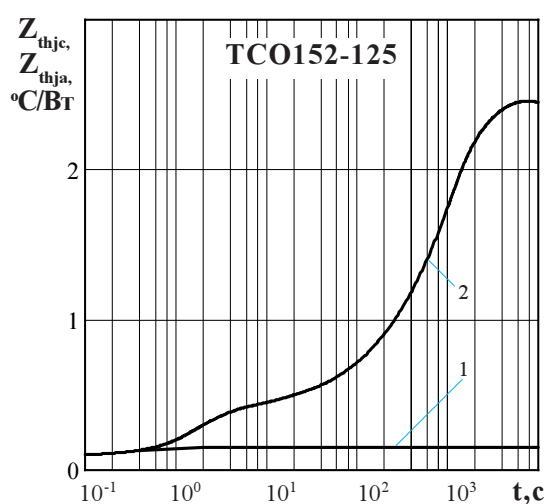
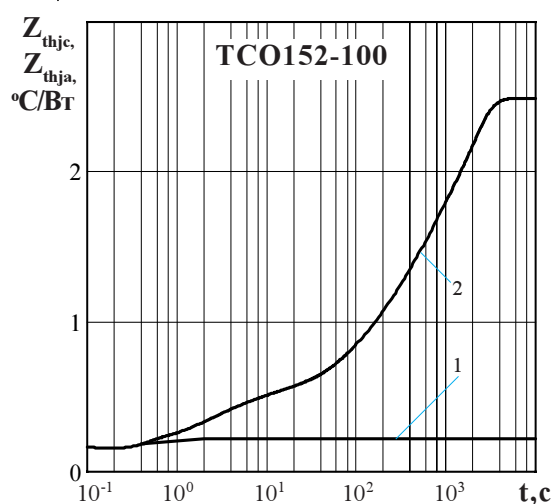
..... ОПТОТРИАКИ ШТЫРЕВОЙ КОНСТРУКЦИИ .....



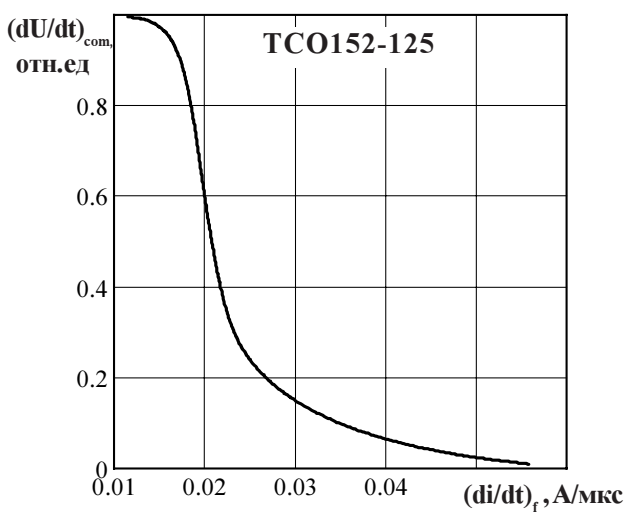
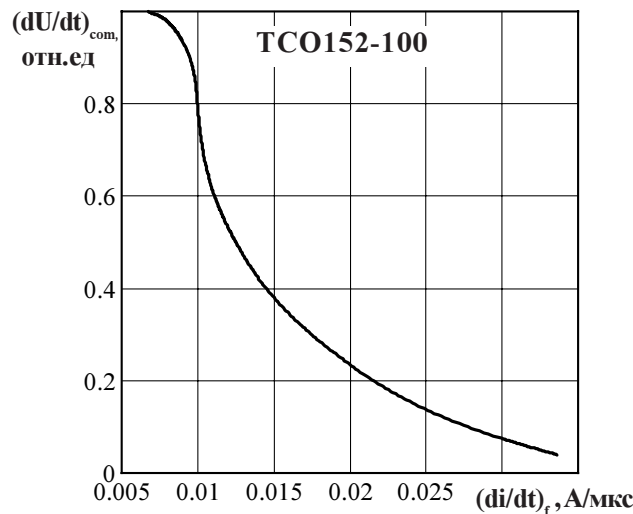
**Рисунок 6** - Зависимость защитного показателя  $I^2t$  от длительности импульса тока  $t_i$  при исходной температуре структуры  $T_j = 25^\circ\text{C}$  (1) и максимальной температуре  $T_{jm}$  (2)



**Рисунок 7** - Зависимость допустимой амплитуды тока перегрузки в открытом состоянии  $I_{T(OV)}$  синусоидальной формы частотой  $f = 50$  Гц от длительности перегрузки  $t$  при естественном охлаждении на типовом охладителе при отношении тока, предшествующего перегрузке,  $I_t$  к допустимому действующему току триака  $I_{TRMS}$  равному  $k = I_t / I_{TRMS}$ ;  $k = 0$  (1); 0,5 (2); 0,75 (3); 1,0 (4).



**Рисунок 8** - Зависимость переходного теплового сопротивления переход - корпус  $Z_{thjc}$  (1) и переход- среда  $Z_{thja}$  (2) от времени  $t$  при естественном охлаждении на типовом охладителе при температуре окружающей среды  $T_a = 40^\circ\text{C}$ .



**Рисунок 9** - Зависимость критической величины скорости нарастания коммутационного напряжения  $(dU/dt)_{com}$  от скорости спада предшествующего тока в открытом состоянии  $(di/dt)_f$  при амплитуде предшествующего тока в открытом состоянии  $I_T = I_{TRMSM}$  и максимально допустимой температуре перехода  $T_{jm}$ .